
SEGUIMIENTO DE EMBALSES 2018

INFORME FINAL DEL EMBALSE DE MONTEAGUDO DE LAS VICARIÁS



**ÁREA DE CALIDAD DE AGUAS
CONFEDERACIÓN HIDROGRÁFICA DEL EBRO**



SEGUIMIENTO DE EMBALSES 2018

PROMOTOR:

CONFEDERACIÓN HIDROGRÁFICA DEL EBRO



DIRECCIÓN DEL PROYECTO:

Vicente Sancho Tello Valls y María José Rodríguez Pérez

EMPRESA CONSULTORA:

Instituto Cavanilles de Biodiversidad y Biología Evolutiva de la Universidad de Valencia Estudi General

EQUIPO DE TRABAJO:

Área de Limnología, dirigida por Dr. Eduardo Vicente Pedrós, Catedrático de Ecología. Director del Estudio.

PRESUPUESTO DE LA ADJUDICACIÓN:

17.343,60 €

CONTENIDO:

INFORME INDIVIDUAL DEL EMBALSE DE MONTEAGUDO DE LAS VICARÍAS

AÑO DE EJECUCIÓN:

2018

FECHA ENTREGA:

DICIEMBRE 2018



REFERENCIA IMÁGENES PORTADA:

Vista de la presa del embalse de Monteagudo de las Vicarías desde el punto de muestreo.

CITA DEL DOCUMENTO: Confederación Hidrográfica del Ebro (2018). Seguimiento de embalses 2018. 186 págs. más anejos.
Disponible en PDF en la web: <http://www.chebro.es>

El presente informe pertenece al Dominio Público en cuanto a los Derechos Patrimoniales recogidos por el Convenio de Berna. Sin embargo, se reconocen los Derechos de los Autores y de la Confederación Hidrográfica del Ebro a preservar la integridad del mismo, las alteraciones o la realización de derivados sin la preceptiva autorización administrativa con fines comerciales, o la cita de la fuente original en cuanto a la infracción por plagio o colusión. A los efectos prevenidos, las autorizaciones para uso no científico del contenido deberán solicitarse a la Confederación Hidrográfica del Ebro.



ÍNDICE

	Página
1. INTRODUCCIÓN.....	7
2. DESCRIPCIÓN GENERAL DEL EMBALSE Y DE LA CUENCA VERTIENTE.....	7
2.1. <i>Ámbito geológico y geográfico</i>	<i>7</i>
2.2. <i>Características morfométricas e hidrológicas</i>	<i>8</i>
2.3. <i>Usos del agua</i>	<i>9</i>
2.4. <i>Registro de zonas protegidas.....</i>	<i>9</i>
3. TRABAJOS REALIZADOS.....	10
4. DIAGNÓSTICO DE LA SITUACIÓN ACTUAL	11
4.1. <i>Características físico-químicas de las aguas</i>	<i>11</i>
4.2. <i>Hidroquímica del embalse.....</i>	<i>14</i>
4.3. <i>Fitoplancton y concentración de clorofila</i>	<i>15</i>
4.4. <i>Zooplancton.....</i>	<i>18</i>
5. DIAGNÓSTICO DEL GRADO TRÓFICO	20
6. DIAGNOSTICO DEL POTENCIAL ECOLÓGICO	21
ANEXO I. REPORTAJE FOTOGRÁFICO	26

ÍNDICE DE FIGURAS Y TABLAS

ÍNDICE DE FIGURAS CORRESPONDIENTES A GRÁFICOS Y FOTOS

Figura 1. Volumen embalsado y salida durante el año hidrológico 2017-2018	9
Figura 2. Localización de la estación de muestreo en el embalse.....	10
Figura 3. Perfil vertical de la temperatura y pH	11
Figura 4. Perfil vertical de la extinción luminosa y oxígeno disuelto	12
Figura 5. Perfil vertical de la conductividad y de la materia orgánica cromofórica	13
Figura 6. Perfil vertical de la clorofila <i>a</i>	16
Figura 7. Vista de la presa del embalse	27
Figura 8. Fotografía del punto de acceso al embalse	27

ÍNDICE DE TABLAS

Tabla 1. Características morfométricas del embalse de Monteagudo de las Vicarías.....	8
Tabla 1. Concentración de los diferentes nutrientes analizados en las muestras integradas.....	14
Tabla 3. Estructura y composición de la comunidad de fitoplancton.....	15
Tabla 4. Composición detallada de la comunidad de fitoplancton.....	16
Tabla 5. Estructura y composición de la comunidad de zooplancton.....	18
Tabla 6. Composición detallada de la comunidad de zooplancton.....	19
Tabla 7. Parámetros indicadores y rangos de estado trófico.	20
Tabla 8. Diagnóstico del estado trófico del embalse de Monteagudo de las Vicarías.	20
Tabla 9. Parámetros y rangos para la determinación del potencial ecológico experimental.	21
Tabla 10. Combinación de los indicadores.....	22
Tabla 11. Diagnóstico del potencial ecológico del embalse de Monteagudo de las Vicarías.	22
Tabla 12. Valores de referencia propios del tipo (VR_t) y límites de cambio de clase de potencial ecológico de los indicadores de los elementos de calidad de embalses (RD 817/2015).	23
Tabla 13. Parámetros, rangos del RCE y valores para la determinación del potencial ecológico normativo.	24
Tabla 14. Combinación de los indicadores.....	24
Tabla 15. Diagnóstico del potencial ecológico (PE_{norm}) del embalse de Monteagudo de las Vicarías.	25

1. INTRODUCCIÓN

El presente documento recoge los resultados de los trabajos realizados en el embalse de Monteagudo de las Vicarías durante los muestreos de 2018 y la interpretación de los mismos, a efectos de proporcionar una referencia que facilite la consulta y explotación de la información obtenida.

En general, se recurre a presentaciones gráficas y sintéticas de la información, acompañadas de un texto conciso, lo que permitirá una consulta ágil y rápida del documento.

En el **Anexo I** se presenta un reportaje fotográfico que refleja el estado del embalse durante el periodo estudiado (verano 2018, correspondiente al año hidrológico 2017-2018).

En apartados sucesivos se comentan los siguientes aspectos:

- Resultados del estudio en el embalse (FASE DE CARACTERIZACIÓN) de todos los aspectos tratados (hidrológicos, fisicoquímicos y biológicos), que culminan en el diagnóstico del grado trófico.
- Clasificación del “Potencial Ecológico experimental”, tras la aplicación de los indicadores biológicos, propuestos en la MEMORIA DEL ESTUDIO, y fisicoquímicos, propuestos en la Directiva Marco del Agua.
- Clasificación del “Potencial Ecológico normativo”, tras la aplicación de los indicadores biológicos y fisicoquímicos propuestos en la Directiva Marco del Agua.

2. DESCRIPCIÓN GENERAL DEL EMBALSE Y DE LA CUENCA VERTIENTE

2.1. **Ámbito geológico y geográfico**

La cuenca del Embalse de Monteagudo de las Vicarías se localiza cercana a la Sierra del Moncayo, en el Sistema Ibérico, dentro del término municipal de Monteagudo de las Vicarías, en la provincia de Soria. Regula las aguas del río Nájima.

2.2. Características morfométricas e hidrológicas

Se trata de un embalse de pequeñas dimensiones. La cuenca vertiente al embalse de Monteagudo de las Vicarías tiene una superficie total de 3036,81 ha.

El embalse tiene una extensión una capacidad total de 9,73 hm³. Caracterizado por una profundidad media de 5 m, siendo la profundidad máxima de 10,50 m.

En la tabla 1 se presentan las características morfométricas del embalse.

Tabla 1. Características morfométricas del embalse de Monteagudo de las Vicarías.

Superficie de la cuenca	199 km ²
Capacidad total N.M.N.	9,67 hm ³
Capacidad útil	9,67 hm ³
Aportación media anual	1,44 hm ³
Superficie inundada	123 ha
Cota máximo embalse normal	801,50 msnm

Tipo de clasificación: 7. Monomíctico, calcáreo, de zona húmeda, perteneciente a ríos de cabecera y tramo alto, con temperatura media anual menor de 15 °C.

Se trata de un embalse monomíctico. En el periodo estival no existe termoclina. El límite inferior de la capa fótica en verano se encuentra alrededor de los 6 metros de profundidad determinado mediante medidor fotoeléctrico, aunque la estimación mediante el disco de Secchi era de 4,4 m.

El tiempo de residencia hidráulica media en el embalse de Monteagudo de las Vicarías para el año hidrológico 2017-2018 fue de 32,10 meses.

En la figura 1 se presentan los valores diarios del volumen embalsado y salida media correspondientes al año hidrológico 2017-2018.

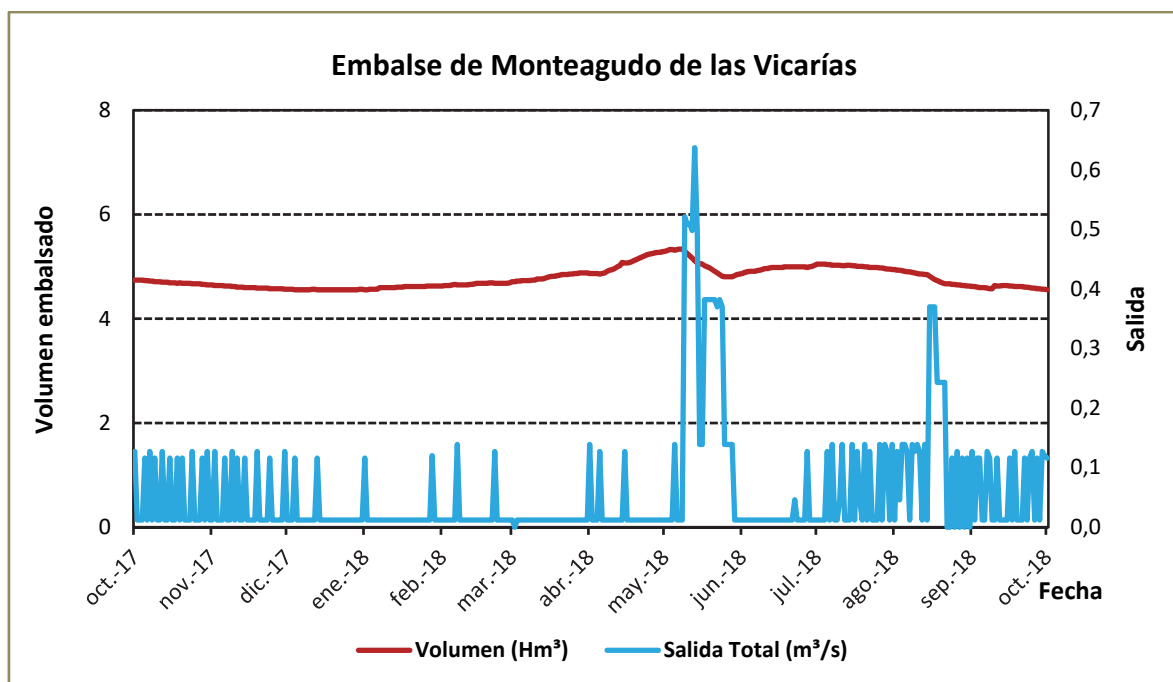


Figura 1. Volumen embalsado y salida durante el año hidrológico 2017-2018.

2.3. Usos del agua

El agua del embalse está destinada principalmente al uso en regadíos.

2.4. Registro de zonas protegidas

El embalse de Monteagudo de las Vicarías forma parte del Registro de Zonas Protegidas elaborado por la Confederación Hidrográfica del Ebro, en contestación al artículo 6 de la Directiva Marco del Agua, en la categoría de zonas de protección de hábitat o especie (Punto Red Natura 2000: ZEPA ES0000363, "Monteagudo de las Vicarías").

3. TRABAJOS REALIZADOS

Para acometer la caracterización del embalse se ha ubicado una estación de muestreo en las inmediaciones de la presa (ver figura 2). Se ha completado una campaña de muestreo el 4 de Julio de 2018, en la que se midieron *in situ* los parámetros físico-químicos y la transparencia en la columna de agua, se tomó una muestra de agua integrada y otras puntuales para los análisis químicos y se realizaron muestreos de fitoplancton y zooplancton.

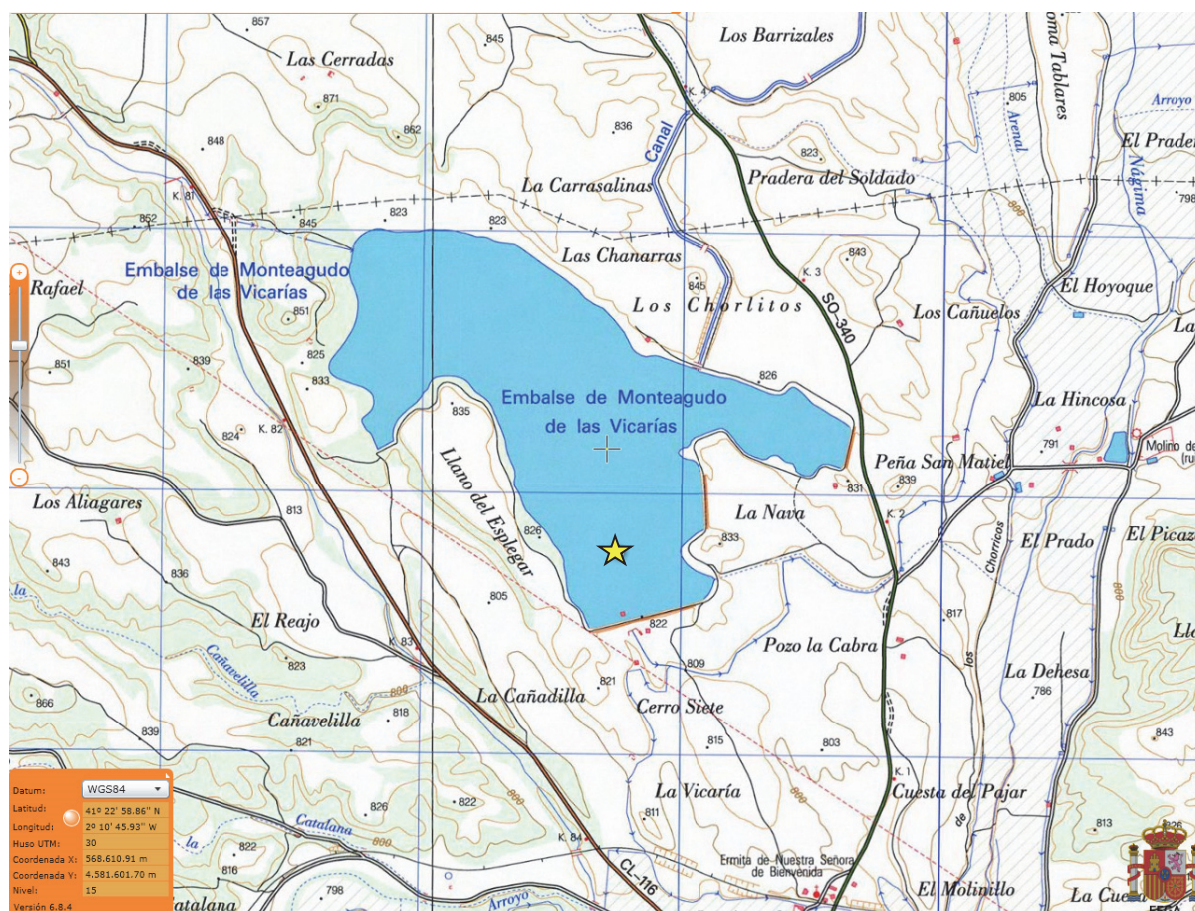
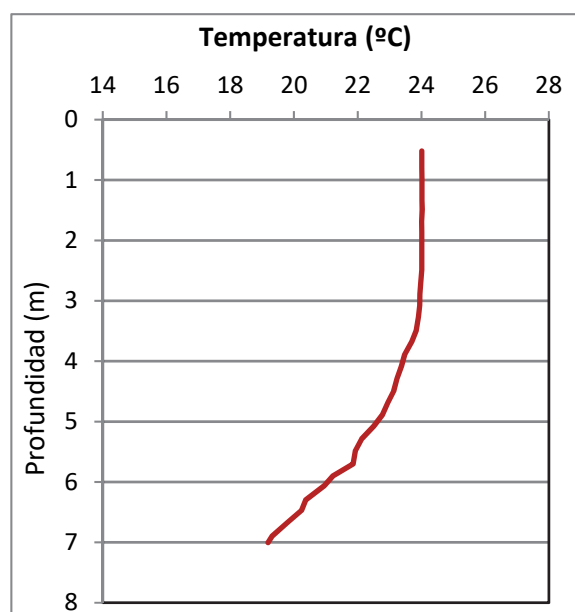


Figura 2. Localización de la estación de muestreo en el embalse.

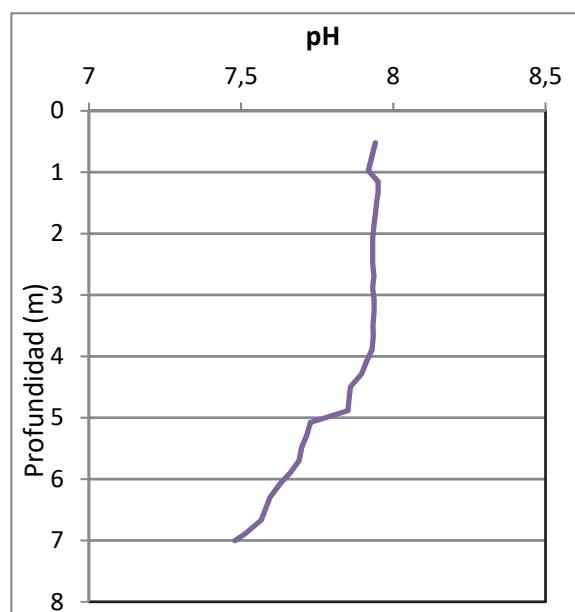
4. DIAGNÓSTICO DE LA SITUACIÓN ACTUAL

4.1. Características físico-químicas de las aguas

De los resultados obtenidos en las variables fisicoquímicas se desprenden las siguientes apreciaciones:

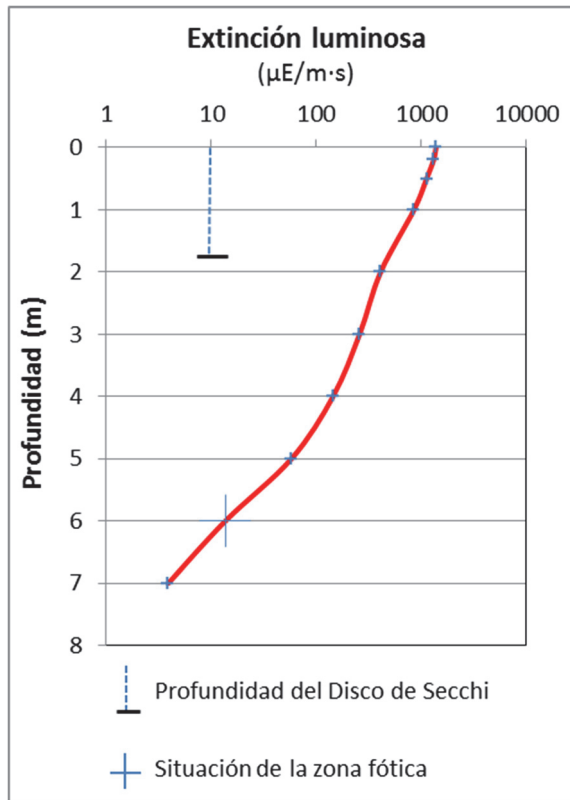


La temperatura del agua oscila entre los 19,19 °C – en el fondo- y los 24,01 °C - máximo registrado en superficie-. En el momento del muestreo (Julio 2018) no existe termoclina.



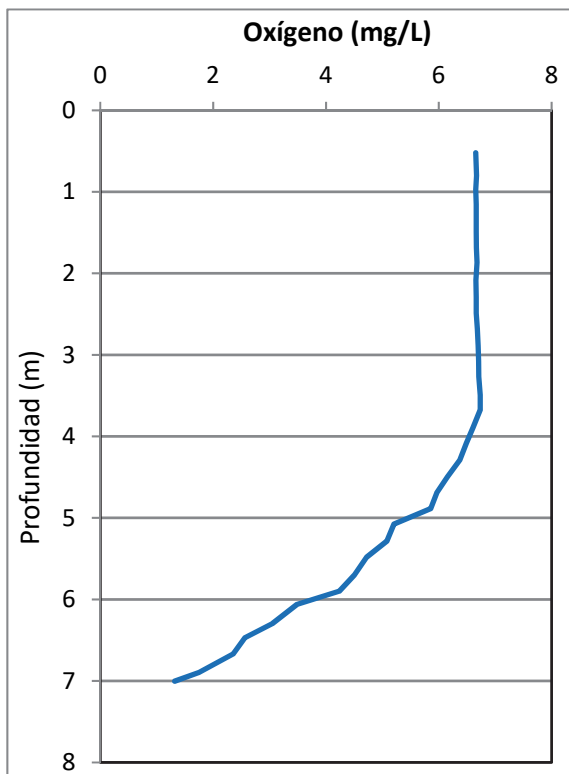
El pH del agua en la superficie es de 7,93. En el fondo del embalse el pH es de 7,51.

Figura 3. Perfil vertical de la temperatura y pH.



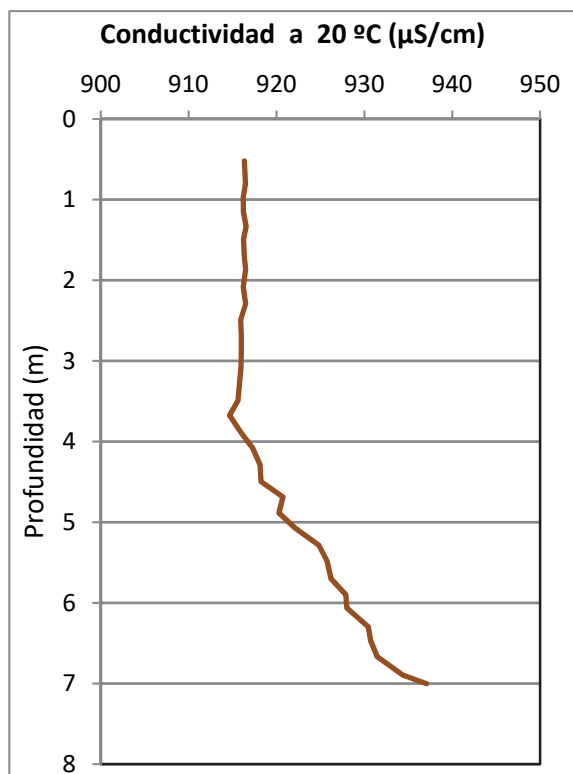
La transparencia del agua registrada en la lectura del disco de Secchi (DS) es de 1,8 m, lo que supone una profundidad de la capa fótica en torno a 4,4 metros. Mientras que el valor registrado con medidor fotoeléctrico es de 6 m de profundidad.

La turbidez media de la zona eufótica (muestra integrada a 6 m de profundidad) fue de 5,59 UAF.

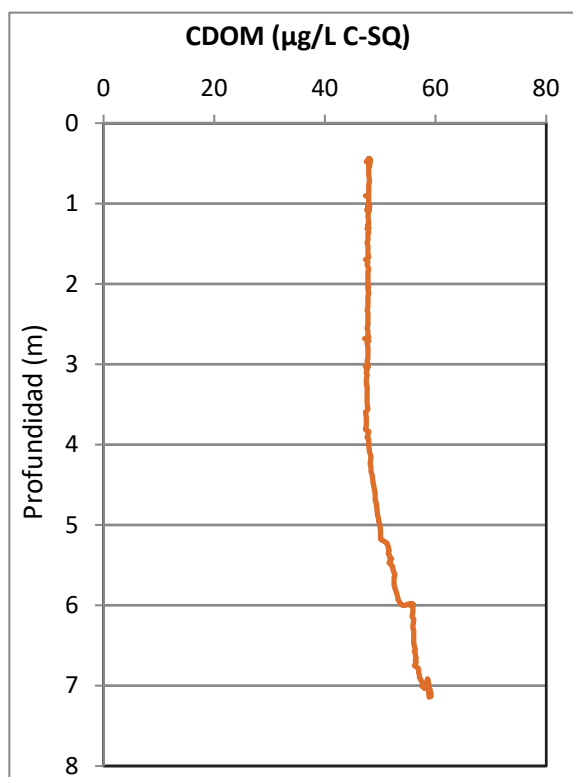


Las condiciones de oxigenación de la columna de agua en el punto de muestreo alcanzan una concentración media de 5,57 mg/L. Se han detectado condiciones anóxicas (<2 mg/L O_2) en los últimos centímetros de la columna de agua.

Figura 4. Perfil vertical de la extinción luminosa y oxígeno disuelto



La conductividad del agua registrada es de $916 \mu\text{S}/\text{cm}$ en la superficie y de $937 \mu\text{S}/\text{cm}$ en el fondo.



El CDOM del agua es de 48 QSE (equivalentes de sulfato de quinina) en la superficie y de 57 QSE en el fondo.

Figura 5. Perfil vertical de la conductividad y de la materia orgánica cromofórica.

4.2. Hidroquímica del embalse

De los resultados analíticos obtenidos en la campaña de 2018 en la muestra integrada, se desprenden los resultados de la tabla 2.

Tabla 2. Concentración de los diferentes nutrientes -analizados en las muestras integradas.

PARÁMETRO	UNIDAD	VALOR
PROFUNDIDAD CAPA FÓTICA	m	6,0
AMONIO	mg NH ₄ /L	0,057
FÓSFORO TOTAL	µg P/L	1,73
FÓSFORO SOLUBLE	µg P/L	1,13
NIO (NO ₃ + NO ₂)	mg N/L	0,65
NITRÓGENO TOTAL	mg N/L	0,98
SÍLICE	mg SiO ₂ /L	4,91
ALCALINIDAD	meq/L	2,00

4.3. Fitoplancton y concentración de clorofila

En el análisis realizado se han identificado un total de 24 especies, distribuidas en los siguientes grupos taxonómicos:

BACILLARIOPHYCEAE	6
CHRYSTOPHYCEAE	2
CHLOROPHYCEAE	10
CRYPTOPHYCEAE	4
EUGLENOPHYCEAE	2

La estructura y composición de la comunidad de fitoplancton se resume en la tabla 3:

Tabla 3. Estructura y composición de la comunidad de fitoplancton.

PARÁMETRO	UNIDAD	VALOR
Nº CÉLULAS TOTALES	nº cél./ml	629,61
BIOVOLUMEN TOTAL	µm³/ml	154905,73
Diversidad Shannon-Wiener		3,35
CLASE PREDOMINANTE (DENSIDAD)		Chlorophyceae
Nº células/ml		356,63
ESPECIE PREDOMINANTE (DENSIDAD)		<i>Tetrachlorella incerta</i>
Nº células/ml		162,96
CLASE PREDOMINANTE (BIOVOLUMEN)		Cryptophyceae
µm³/ml		65906,65
ESPECIE PREDOMINANTE (BIOVOLUMEN)		<i>Cryptomonas erosa</i>
µm³/ml		39517

La concentración de clorofila fue de 1,60 µg/L en la muestra integrada (profundidad señalada en la figura 6 con una línea roja).

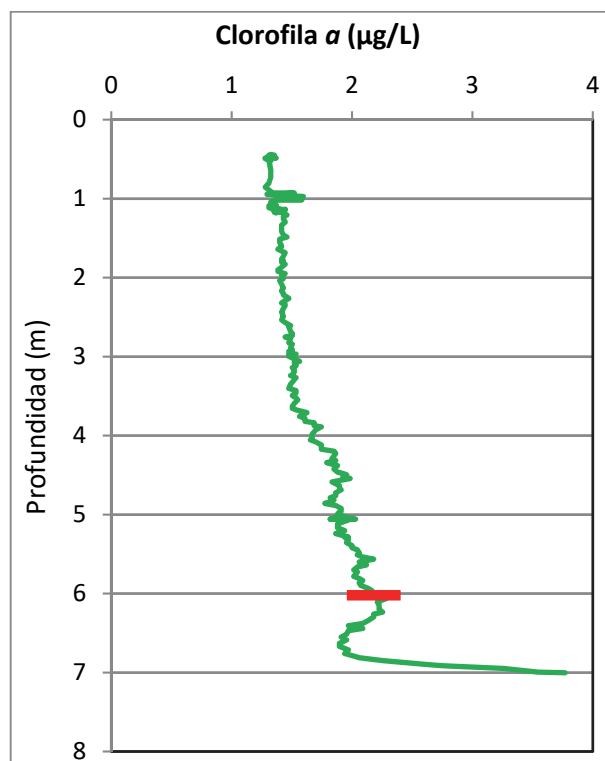


Figura 6. Perfil vertical de la clorofila a

La composición de la población fitoplanctónica de la muestra integrada de la zona fótica indicando su abundancia y biovolumen, y la densidad cualitativa de la muestra integrada de fitoplancton del muestreo vertical con red de plancton, muestran los resultados de la tabla 4:

Tabla 4. Composición detallada de la comunidad de fitoplancton.

COD_EMB_LW	COMPOSICIÓN	ABUNDANCIA	BIOVOLUMEN	CUALITATIVO
	FITOPLANCTON	cél./ml	µm3/ml	(1 al 5)
	BACILLARIOPHYCEAE/CENTRALES/			
CYCLOCEL0	<i>Cyclotella ocellata</i> (=Lindavia ocellata)	82,66	12.724,86	1
CYCSTEL0	<i>Discostella stelligera</i> (=Cyclotella stelligera)	40,15	10.090,85	
	BACILLARIOPHYCEAE /PENNALES/			
ACHNMINU0	<i>Achnanthydium minutissimum</i> (=Achnanthes minutissima)	1,18	29,52	
ASTEFORM0	<i>Asterionella formosa</i>			1
NAVICRYH0	<i>Navicula cryptocephala</i>	0,23	99,58	
NITZCLOS0	<i>Nitzschia closterium</i> (=Cylindrotheca closterium)	0,23	1.561,06	
NITZPALE0	<i>Nitzschia palea</i>	1,18	466,30	
	CHRYSOPHYCEAE			
CHRYOGEN0	<i>Chrysochromulina</i> sp.	1,18	37,79	
KEPHOVAL0	<i>Kephyrion ovale</i>	1,18	59,36	
STICDOED0	<i>Stichogloea doederleinii</i>			2
	CHLOROPHYTA			
BOTRBRAU0	<i>Botryococcus braunii</i>	85,02	9.615,99	4
CARTEGEN0	<i>Carteria</i> sp.	5,90	15.188,84	

COD_EMB_LW	COMPOSICIÓN	ABUNDANCIA	BIOVOLUMEN	CUALITATIVO
	FITOPLANCTON	cél./ml	µm ³ /ml	(1 al 5)
CRUCRECT0	<i>Crucigeniella rectangularis</i>			1
CHLAMGEN0	<i>Chlamydomonas</i> sp.			1
ELAKGELA0	<i>Elakatothrix gelatinosa</i>	1,18	50,08	1
MONOMINU0	<i>Monoraphidium minutum</i>	1,18	28,98	
MONOSUBC0	<i>Monoraphidium subclavatum</i>			1
OOCYLACU0	<i>Oocystis lacustris</i>	29,52	1.731,27	2
OOCYMARS0	<i>Oocystis marssonii</i>	23,62	5.342,22	
OOCYPARV0	<i>Oocystis parva</i>			1
OOCYSGEN0	<i>Oocystis</i> sp.	11,81	389,54	
PEDIBORY0	<i>Pediastrum boryanum</i>			1
PEDIDUPL0	<i>Pediastrum duplex</i>			1
SPHAPLAN0	<i>Sphaerocystis planctonica</i>	2,36	267,11	1
TETRINCE0	<i>Tetrachlorella incerta</i>	162,96	1.365,23	1
TETRKOMA0	<i>Tetrastrum komarekii</i>	33,06	2.380,67	1
	ZYGNEMATOPHYCEAE			
GONAMONO0	<i>Gonatozygon monotaenium</i>			1
STAUPARA0	<i>Staurastrum paradoxum</i>			1
	CYANOBACTERIA			
CHRYMINO0	<i>Chrysochloris minor</i> (=Anabaena bergii-minor)			2
MERITENU0	<i>Merismopedia tenuissima</i>			1
	CRYPTOPHYCEAE			
CRYPERSO0	<i>Cryptomonas erosa</i>	16,53	39.517,08	
CRYPMARS0	<i>Cryptomonas marsonii</i>	34,25	19.508,98	1
PLAGLACU0	<i>Plagioselmis</i> (=Rhodomonas) <i>lacustris</i>	75,58	6.280,41	1
PLAGNANN0	<i>Plagioselmis nannoplanctica</i> (=Rhodomonas <i>lacustris</i> var. <i>nannoplanctica</i>)	16,53	600,17	1
	DINOPHYCEAE			
CERAFURC0	<i>Ceratium furcoides</i>			1
CERAHIRU0	<i>Ceratium hirundinella</i>			1
	EUGLENOPHYCEAE			
EUGLEHRE0	<i>Euglena ehrenbergii</i>			1
EUGLOXYU0	<i>Euglena oxyuris</i>	0,69	26.699,24	1
EUGLEGEN0	<i>Euglena</i> sp.	1,18	870,58	1
LEPOSALI0	<i>Lepocinclis salina</i>			1
PHACLONG0	<i>Phacus longicauda</i>			1
PHACTORT0	<i>Phacus tortus</i>			1
	TOTALES BACILLARIOPHYCEAE	125,63	24.972,18	
	TOTALES CHRYSOPHYCEAE	2,36	97,15	
	TOTALES CHLOROPHYTA	356,63	36.359,93	
	TOTALES CRYPTOPHYCEAE	142,89	65.906,65	
	TOTALES EUGLENOPHYCEAE	2,10	27.569,82	
	TOTALES ALGAS	629,61	154.905,73	

Nota: Entre paréntesis se cita el anterior nombre de la especie.

Clases de abundancia	% de presencia
1	<9
2	10-24
3	25-60
4	61-99

5	>99
---	-----

4.4. Zooplancton

En el análisis de zooplancton de las muestras del embalse de Monteagudo de las Vicarías se han identificado un total de 9 especies, distribuidas en los siguientes grupos taxonómicos:

- Cladocera 3
- Copepoda 2
- Rotífera 4

La estructura y composición de la comunidad de zooplancton se resume en la tabla 5:

Tabla 5. Estructura y composición de la comunidad de zooplancton.

PARAMETRO	UNIDAD	VALOR
PROFUNDIDAD	m	6,0
DENSIDAD TOTAL	individuos/L	112,69
BIOMASA TOTAL	µg/L	222,00
Diversidad Shannon-Wiener		2,43
CLASE PREDOMINANTE (DENSIDAD)		Copépodos
individuos/L		46,54
TAXÓN PREDOMINANTE (DENSIDAD)		<i>Neolovenula alluaudi</i>
individuos/L		40,38
CLASE PREDOMINANTE (BIOMASA)		Cladóceros
µg/L		131,69
ESPECIE PREDOMINANTE (BIOMASA)		<i>Diaphanosoma lacustris</i>
µg/L		76,92
COLUMNA AGUA INTEGRADA (red vertical)		0 - 6 m
CLADÓCEROS: 46,46 %	COPÉPODOS: 39,40 %	ROTÍFEROS: 14,14 %

La composición detallada de la población zooplanctónica presente en la muestra cuantitativa de zooplancton indicando la densidad y biomasa, y el porcentaje de las especies presentes en la muestra integrada de la red vertical, se muestran en la tabla 6:

Tabla 6. Composición detallada de la comunidad de zooplancton.

CÓDIGO	COMPOSICIÓN	ABUNDANCIA	BIOMASA	PORCENTAJE
TAXÓN	ZOOPLANCTON	Ind./L	mg/L	(1 al 5)
	CLADÓCEROS			
DAPHCUCU0	<i>Daphnia cucullata</i>	4,62	13,85	1
DAPHPULI0	<i>Daphnia pulicaria</i>	10,77	40,92	2
DIAPLACU0	<i>Diaphanosoma lacustris</i>	30,77	76,92	3
	COPÉPODOS			
ACANAMER0	<i>Acanthocyclops americanus</i>			1
NEOLALLU0	<i>Neolovenula alluaudi</i>	40,38	86,37	3
CYCLOPFAM	Fam. Cyclopidae	6,15	1,62	1
	ROTÍFEROS			
ASPLPRIO0	<i>Asplanchna priodonta</i>	1,54	1,15	1
HEXAFENNO	<i>Hexarthra fennica</i>	1,54	0,32	1
POLYDOLI0	<i>Polyarthra dolichoptera</i>	15,38	0,78	1
POLYVULG0	<i>Polyarthra vulgaris</i>	1,54	0,07	1
	Total Cladóceros	46,15	131,69	
	Total Copépodos	46,54	87,98	
	Total Rotíferos	20,00	2,33	
	Total	112,69	222,00	

Nota: Entre paréntesis se cita el anterior nombre de la especie.

Clases de abundancia	% de presencia
1	<9
2	10-24
3	25-60
4	61-99
5	>99

5. DIAGNÓSTICO DEL GRADO TRÓFICO

Se han considerado los indicadores especificados en la tabla 7 para los valores medios en el embalse, estableciéndose el estado trófico global del embalse según la metodología descrita en la sección 5 de la MEMORIA DEL ESTUDIO.

Tabla 7. Parámetros indicadores y rangos de estado trófico.

Parámetros Estado Trófico	Ultraoligotrófico	Oligotrófico	Mesotrófico	Eutrófico	Hipereutrófico
Concentración P ($\mu\text{g P/L}$)	0-4	4-10	10-35	35-100	>100
Disco de Secchi (m)	>6	6-3	3-1,5	1,5-0,7	<0,7
Clorofila <i>a</i> ($\mu\text{g/L}$) epilimnion	0-1	1-2,5	2,5-8	8,0-25	>25
Densidad algal (cel./ml)	<100	100-1000	1000-10000	10000-100000	>100000
VALOR PROMEDIO FINAL	< 1,8	1,8 – 2,6	2,6 – 3,4	3,4 – 4,2	> 4,2

En la tabla 8 se incluye el estado trófico indicado por cada uno de los parámetros, así como la catalogación de la masa de agua según la valoración de este estado trófico final.

Tabla 8. Diagnóstico del estado trófico del embalse de Monteagudo de las Vicarías.

INDICADOR	VALOR	ESTADO TRÓFICO
P TOTAL	1,73	Ultraoligotrófico
CLOROFILA <i>a</i>	1,60	Oligotrófico
DISCO SECCHI	1,75	Mesotrófico
DENSIDAD ALGAL	630	Oligotrófico
ESTADO TROFICO FINAL	2,00	OLIGOTRÓFICO

Atendiendo a los criterios seleccionados, la concentración de clorofila *a* y la densidad algal establecen un estado de oligotrofia, mientras que el fósforo total (PT) determina para el embalse un estado de oligotrofia. En cambio, la transparencia (DS) clasifica el embalse como mesotrófico. Combinando todos los indicadores el estado trófico final para el embalse de MONTEAGUDO DE LAS VICARÍAS ha resultado ser **OLIGOTRÓFICO**.

6. DIAGNOSTICO DEL POTENCIAL ECOLÓGICO

a) Aproximación experimental (*PEexp*)

Se han considerado los indicadores especificados en la tabla 9, estableciéndose el potencial ecológico del embalse según la metodología descrita en la sección 6.3, apartado a) de la MEMORIA DEL ESTUDIO.

Tabla 9. Parámetros y rangos para la determinación del potencial ecológico experimental.

Indicador	Elementos	Parámetros	Bueno o superior	Moderado	Deficiente	Malo	
Biológico	Fitoplancton	Densidad algal (cel/ml)	< 10 ³	10 ³ -10 ⁴	10 ⁴ -10 ⁵	>10 ⁵	
		Biomasa algal, Clorofila <i>a</i> (µg/L)	< 2,5	2,5-8	8,0-25	>25	
		Biovolumen algal (mm ³ /L)	< 0,5	0,5-2	2-8	>8	
		<i>Phytoplankton Assemblage Index (Q)</i>	> 3	2-3	1-2	<1	
		<i>Trophic Index (TI)</i>	< 2,79	2,79-3,52	3,52-4,25	>4,25	
		<i>Phytoplankton Trophic Index (PTI)</i>	> 3,4	2,6-3,4	1,8-2,6	<1,8	
	<i>Phytoplankton Reservoir Trophic Index (PRTI)</i>	< 6,6	6,6-9,4	9,4-12,2	>12,2		
Zooplancton	<i>Zooplankton Reservoir Trophic Index (ZRTI)</i>	< 6,6	6,6-9,4	9,4-12,2	>12,2		
INDICADOR BIOLÓGICO (1)			< 2,6	2,6 - 3,4	3,4 - 4,2	> 4,2	
Indicador	Elementos	Parámetros	Muy bueno	Bueno	Moderado	Deficiente	Malo
Fisicoquímico	Transparencia	Disco de Secchi (m)	>6	3-6	1, 5 -3	0, 7 -1,5	<0, 7
	Oxigenación	Concentración O ₂ (mg O ₂ /L)	>8	8-6	6-4	4-2	<2
	Nutrientes	Concentración de PT (µg P/L)	0-4	4-10	10-35	35-100	>100
INDICADOR FISICOQUÍMICO (2)			Muy bueno	Bueno	Moderado		
			< 1,6	1,6 - 2,4	> 2,4		

(1) La valoración del indicador biológico se obtiene asignando la calificación del elemento de menor puntuación (fitoplancton o zooplancton) o peor calidad, según la metodología *one out, all out*.

(2) La valoración del indicador fisicoquímico se obtiene asignando la calificación del elemento de menor puntuación o peor calidad, según la metodología *one out, all out*.

La combinación de los dos indicadores, fisicoquímico y biológico, para la obtención del potencial ecológico experimental final sigue el esquema de decisiones indicado en la tabla 10:

Tabla 10. Combinación de los indicadores.

Indicador Biológico	Indicador Físicoquímico	Potencial Ecológico Experimental
Bueno o superior	Muy bueno	Bueno o superior
Bueno o superior	Bueno	Bueno o superior
Bueno o superior	Moderado	Moderado
Moderado	Indistinto	Moderado
Deficiente	Indistinto	Deficiente
Malo	Indistinto	Malo

En la tabla 11 se incluye el potencial indicado por cada uno de los parámetros e indicadores, así como la catalogación de la masa de agua según el potencial ecológico final.

Tabla 11. Diagnóstico del potencial ecológico del embalse de Monteagudo de las Vicarías.

Indicador	Elementos	Parámetros	Valor	Potencial
Biológico	Fitoplancton	Densidad algal (cel/ml)	630	Bueno o superior
		Clorofila a (µg/L)	1,60	Bueno o superior
		Biovolumen algal (mm ³ /L)	0,15	Bueno o superior
		<i>Phytoplankton Assemblage Index (Q)</i>	3,83	Bueno o superior
		<i>Phytoplankton Trophic Index (PTI)</i>	2,74	Moderado
		<i>Trophic Index (TI)</i>	2,41	Bueno o superior
	<i>Phytoplankton Reservoir Trophic Index (PRTI)</i>	7,84	Moderado	
	Zooplancton	<i>Zooplankton Reservoir Trophic Index (ZRTI)</i>	11,57	Deficiente
INDICADOR BIOLÓGICO			4	DEFICIENTE
Físicoquímico	Transparencia	Disco de Secchi(m)	1,75	Moderado
	Oxigenación	O ₂ hipolimnética (mg O ₂ /L)	5,57	Moderado
	Nutrientes	Concentración de PT (µg P/L)	1,73	Muy bueno
INDICADOR FÍSICOQUÍMICO			3	MODERADO
POTENCIAL ECOLÓGICO				DEFICIENTE

b) Aproximación normativa (*PE_{norm}*)

Se han considerado los indicadores, los valores de referencia y los límites de clase B⁺/M (Bueno o superior/Moderado), M/D (Moderado/Deficiente) y D/M (Deficiente/Malo), así como sus ratios de calidad ecológica (RCE), especificados en las tablas 12 y 13, estableciéndose el potencial ecológico del embalse según la metodología descrita en la sección 6.3, apartado b) de la MEMORIA DEL ESTUDIO.

Tabla 12. Valores de referencia propios del tipo (VR_t) y límites de cambio de clase de potencial ecológico de los indicadores de los elementos de calidad de embalses (RD 817/2015).

Tipo	Elemento	Parámetro	Indicador	VR _t	B ⁺ /M (RCE)	M/D (RCE)	D/M (RCE)
Tipo 1	Fitoplancton	Biomasa	Clorofila <i>a</i> mg/m ³	2,00	0,211	0,14	0,07
			Biovolumen mm ³ /L	0,36	0,189	0,126	0,063
		Composición	Índice de Catalán (IGA)	0,10	0,974	0,649	0,325
			Porcentaje de cianobacterias	0,00	0,908	0,607	0,303
Tipo 7	Fitoplancton	Biomasa	Clorofila <i>a</i> mg/m ³	2,60	0,433	0,287	0,143
			Biovolumen mm ³ /L	0,76	0,362	0,24	0,12
		Composición	Índice de Catalán (IGA)	0,61	0,982	0,655	0,327
			Porcentaje de cianobacterias	0,00	0,715	0,48	0,24
Tipo 9	Fitoplancton	Biomasa	Clorofila <i>a</i> mg/m ³	2,60	0,433	0,287	0,143
			Biovolumen mm ³ /L	0,76	0,362	0,24	0,12
		Composición	Índice de Catalán (IGA)	0,61	0,982	0,655	0,327
			Porcentaje de cianobacterias	0,00	0,715	0,48	0,24
Tipo 10	Fitoplancton	Biomasa	Clorofila <i>a</i> mg/m ³	2,60	0,433	0,287	0,143
			Biovolumen mm ³ /L	0,76	0,362	0,24	0,12
		Composición	Índice de Catalán (IGA)	0,61	0,982	0,655	0,327
			Porcentaje de cianobacterias	0,00	0,715	0,48	0,24
Tipo 11	Fitoplancton	Biomasa	Clorofila <i>a</i> mg/m ³	2,60	0,433	0,287	0,143
			Biovolumen mm ³ /L	0,76	0,362	0,24	0,12
		Composición	Índice de Catalán (IGA)	0,61	0,982	0,655	0,327
			Porcentaje de cianobacterias	0,00	0,715	0,48	0,24
Tipo 12	Fitoplancton	Biomasa	Clorofila <i>a</i> mg/m ³	2,40	0,195	0,13	0,065
			Biovolumen mm ³ /L	0,63	0,175	0,117	0,058
		Composición	Índice de Catalán (IGA)	1,50	0,929	0,619	0,31
			Porcentaje de cianobacterias	0,10	0,686	0,457	0,229
Tipo 13	Fitoplancton	Biomasa	Clorofila <i>a</i> mg/m ³	2,10	0,304	0,203	0,101
			Biovolumen mm ³ /L	0,43	0,261	0,174	0,087
		Composición	Índice de Catalán (IGA)	1,10	0,979	0,653	0,326
			Porcentaje de cianobacterias	0,00	0,931	0,621	0,31

Tabla 13. Parámetros, rangos del RCE y valores para la determinación del potencial ecológico normativo.

Indicador	Elementos	Parámetros	RANGOS DEL RCE				
			Bueno o superior	Moderado	Deficiente	Malo	
Biológico	Fitoplancton	Clorofila a (µg/L)	≥ 0,433	0,432 – 0,287	0,286 – 0,143	< 0,143	
		Biovolumen algal (mm ³ /L)	≥ 0,362	0,361 – 0,24	0,23 – 0,12	< 0,12	
		Índice de Catalán (IGA)	≥ 0,982	0,981 – 0,655	0,654 – 0,327	< 0,327	
		Porcentaje de cianobacterias	≥ 0,715	0,714 – 0,48	0,47 – 0,24	< 0,24	
			Bueno o superior	Moderado	Deficiente	Malo	
INDICADOR BIOLÓGICO			> 0,6	0,4-0,6	0,2-0,4	< 0,2	
			RANGOS DE VALORES				
Indicador	Elementos	Parámetros	Muy bueno	Bueno	Moderado	Deficiente	Malo
Fisicoquímico	Transparencia	Disco de Secchi (m)	>6	3-6	1, 5 -3	0, 7 -1,5	<0, 7
	Oxigenación	O ₂ hipolimnética (mg O ₂ /L)	>8	8-6	6-4	4-2	<2
	Nutrientes	Concentración de PT (µg P/L)	0-4	4-10	10-35	35-100	>100
			Muy bueno	Bueno	Moderado		
INDICADOR FISICOQUÍMICO			< 1,6	1,6 – 2,4	> 2,4		

La combinación de los dos indicadores, fisicoquímico y biológico, para la obtención del potencial ecológico normativo final sigue el esquema de decisiones indicado en la tabla 14:

Tabla 14. Combinación de los indicadores.

Indicador Biológico	Indicador Fisicoquímico	Potencial Ecológico Experimental
Bueno o superior	Muy bueno	Bueno o superior
Bueno o superior	Bueno	Bueno o superior
Bueno o superior	Moderado	Moderado
Moderado	Indistinto	Moderado
Deficiente	Indistinto	Deficiente
Malo	Indistinto	Malo

En la tabla 15 se incluye el potencial indicado por cada uno de los parámetros, así como la catalogación de la masa de agua según el potencial ecológico final (*PE_{norm}*) tras pasar el filtro del indicador fisicoquímico.

Tabla 15. Diagnóstico del potencial ecológico (*PE_{norm}*) del embalse de Monteagudo de las Vicarías.

Indicador	Elementos	Parámetro	Indicador	Valor	RCE	RCET	<i>PE_{norm}</i>
Biológico	Fitoplancton	Biomasa	Clorofila a (µg/L)	1,60	1,63	1,44	Bueno o superior
			Biovolumen algal (mm ³ /L)	0,15	4,91	3,44	Bueno o superior
			Media				2,44
		Composición	Índice de Catalán (IGA)	1,96	0,997	0,92	Moderado
			Porcentaje de cianobacterias	0,00	1,00	1,00	Bueno o superior
			Media				0,96
Media global						1,70	
INDICADOR BIOLÓGICO				2			BUENO O SUPERIOR
Indicador	Elementos	Indicador	Valor			<i>PE_{norm}</i>	
Fisicoquímico	Transparencia	Disco de Secchi (m)	1,75			Moderado	
	Oxigenación	O ₂ hipolimnética (mg O ₂ /L)	5,57			Moderado	
	Nutrientes	Concentración de PT (µg P/L)	1,73			Muy bueno	
INDICADOR FISICOQUÍMICO				3			MODERADO
POTENCIAL ECOLÓGICO <i>PE_{norm}</i>				MODERADO			



ANEXO I. REPORTAJE FOTOGRÁFICO



Figura 7. Vista de la cola del embalse.



Figura 8. Vista del punto de acceso.